

# بررسی آزمایشگاهی شناسایی آسیب اتصال‌های پل‌های خرپایی با استفاده از پاسخ‌های ارتعاشی تحت بار متحرک

عابد کردی (دانشجوی دکتری)

موسی محمودی صاحبی<sup>\*</sup> (اسناد)

دانشکده فنی و مهندسی عمران، دانشگاه تربیت دیر شهید رجایی

پاسخ‌های ارتعاشی سازه‌ها، از قبیل تغییرمکان، همواره در اثر آسیب‌های موضعی دچار تغییر می‌شوند و با مقایسه‌ی آنها در سازه‌های سالم و آسیب دیده تحت بارگذاری‌های مختلف می‌توان نشانگری مناسب جهت شناسایی محل آسیب معرفی کرد. در پژوهش حاضر، با بررسی پاسخ‌های تغییرمکان ارتعاشی ناشی از بار متحرک و تغییرات آنها و همچنین مقایسه‌ی شکل الگوی تغییرات پاسخ‌های ارتعاشی با شکل دیاگرام خط تأثیر اعضاء خرپا در پل‌های خرپایی اقدام به شناسایی آسیب در اعضا و اتصال‌ها شده است. برای هدف مذکور، یک مدل آزمایشگاهی از یک پل خرپایی مستطیل، با اتصال‌های پیچی ساخته و طی ۱۸ سنتاریوی آسیب مختلف، نتایج برداشت و بررسی شده است. این نتایج نشان می‌دهند که اگر آسیب در اتصال‌های پل خ دهد، نمودار اختلاف پاسخ‌های تغییرمکان دو حالت سالم و آسیب دیده و دیاگرام خط تأثیر عضوی که اتصال‌های آن آسیب دیده است از نظر شکل منطبق خواهند بود و می‌تواند شاخصی برای شناسایی آسیب باشد.

abed.kordi@gmail.com  
m.mahmoudi@sru.ac.ir

واژگان کلیدی: شناسایی آسیب، پاسخ تغییرمکان، خط تأثیر، پل خرپایی، اتصال‌ها.

## ۱. مقدمه

زیادی از گذشته تاکنون اقدام به معرفی روش‌های متعدد برای شناسایی آسیب در پل‌ها کرده‌اند.<sup>[۱-۳]</sup> پل‌های خرپایی، از جمله پرکاربردترین سازه‌هایی هستند که به دلایل مختلفی از جمله: نزدیکی به آب و در تماس بودن با هوا همواره دچار آسیب می‌شوند. با توجه به اهمیت پل‌های خرپایی در بین سازه‌های عمرانی و مشکلات متعدد ناشی از ریزش پل‌های مذکور و حذف آنها از سرویس، بسیاری از پژوهشگران همواره به موضوع تحلیل رفتار، پایش سلامت و شناسایی آسیب‌های پل‌های خرپایی پرداخته‌اند. برولن و کیم<sup>۱</sup> (۲۰۱۳)، آثار آسیب موضعی در رفتار کالی پل خرپایی را طی یک کار آزمایشگاهی بررسی و با یک مدل عددی اعتبارسنجی کردند و در یافتن که آسیب‌های موضعی به خصوص آسیب‌های با مقدار شاخص آسیب بزرگ‌تر از ۵/۰، در سرویس دهی یک پل خرپایی بسیار مؤثر است.<sup>[۴]</sup> کیم و همکاران (۲۰۱۳)، در یک پل خرپایی واقعی تحت بار متحرک، امکان پایش سلامت بر پایه‌ی ارتعاش ناشی از بار متحرک را بررسی کردند و یک شاخص حساس به آسیب از طریق پارامترهای سیستم خطی یک مدل سری زمانی استخراج کردند.<sup>[۵]</sup> لی<sup>۲</sup> و همکاران (۲۰۱۱)، یک روش تحلیلی برای شناسایی آسیب با استفاده از مقادیر انرژی تنشی و کرنشی در سازه‌های سالم و آسیب دیده ارائه کردند و اعتبار روش پیشنهادی

\* نویسنده مسئول

تاریخ: دریافت ۱۱/۱۱/۱۴۰۱، اصلاحیه ۱۷/۱۱/۱۴۰۱، پذیرش ۲۶/۱۱/۱۴۰۱.

استناد به این مقاله:

کردی، عابد و محمودی صاحبی، موسی، ۱۴۰۲. بررسی آزمایشگاهی شناسایی آسیب اتصال‌های پل‌های خرپایی با استفاده از پاسخ‌های ارتعاشی تحت بار متحرک. مهندسی عمران شریف، (۳۹)، ۸۱-۷۱، صص. DOI:10.24200/J30.2023.61428.3173

جدید اقدام به معرفی مفهوم نسبت‌های شکل انحرافی ناشی از پاسخ‌های اندازه‌گیری شده از دو محور پشت سر هم و سیله‌ی نقليه روی پل کردند و با بررسی نسبت‌های مذکور که نسبت‌های بدون بعد بودند، توانستند تعییرات رفتاری پل را تشخیص دهند و از این مفهوم به عنوان شاخصی برای شناسایی آسیب استفاده کنند.<sup>[۲۲]</sup> مصطفی و همکاران (۲۰۲۲)، نیز در یک مطالعه‌ی تحلیلی نشان دادند که می‌توان با استفاده از بسامد لحظه‌یی پل راه‌آهن و بهره‌گیری از نوعی تبدیل موجک، شاخصی برای شناسایی آسیب معرفی کرد، در حالی که بین بسامد ناشی از بار متحرك و بسامد ناشی از آسیب تمایز قابل شدن.<sup>[۲۳]</sup> در پژوهش حاضر، یک راهبرد جدید برای شناسایی آسیب در اتصال‌های پل‌های خربپایی با استفاده از پاسخ تعییرمکان قائم ارتعاشی پل تحت بار متحرك و همچنین دیاگرام‌های خط تأثیر اعضا معرفی شده است. لازم به ذکر است که پاسخ فقط یک نقطه‌ی دلخواه از تیر برای انجام شناسایی آسیب لازم است.

## ۲. روش پژوهش

### ۱.۲. ملاحظات مقدماتی

در پژوهش حاضر برای شناسایی آسیب در اتصال‌های پل‌های خربپایی، داشتن دیاگرام‌های خط تأثیر اعضا ضروری بوده است. در ادامه‌ی پژوهش، نوشتارهایی که از مبحث خط تأثیر برای پیشبرد مطالعات‌شان در حوزه‌ی مطالعات در مورد پل‌های خربپایی بهره برده‌اند، بررسی شده‌اند. خط تأثیر، یکتابع پاسخ است که دامنه‌ی تعییرات یک پاسخ سازه‌یی (به طور مثال نیروی محوری، برشی، گشتاور خمشی، تغییرشکل و غیره) را در یک نقطه‌ی مشخص در سیستم سازه‌یی ناشی از اعمال یک الگویی بار استاتیکی قرار گرفته در هر نقطه روى سازه نشان می‌دهد. به یک خط تأثیر زمانی که بار اعمال شده فقط محدود به بار واحد باشد، خط تأثیر واحد گفته می‌شود.<sup>[۱۵]</sup> رازورن و نکاتی (۲۰۱۱)، اطلاعات حسی و تصویری را برای استخراج خط تأثیر واحد به عنوان یک شاخص آسیب برای نظرات بر رفتار پل تحت شرایط بارگذاری با استفاده از روش‌های تصویری رایانه تحلیل کرده‌اند.<sup>[۱۶]</sup> استیماک (۲۰۰۶)، یک روش شناسایی آسیب سازه‌یی از طریق تحلیل خطوط تأثیر تعییرمکان و صفحه‌های تأثیر بر مبنای اختلاف در انحنای خطوط و صفحه‌های تأثیر تعییرمکان دردو حالت سالم و آسیب‌دیده پیشنهاد کرده‌اند.<sup>[۱۷]</sup> همکاران (۲۰۱۲)، خطوط تأثیر نیروی برشی و لنگر خمشی تیر در حالت‌های سالم و آسیب‌دیده را آنالیز کرده و نشان دادند که خط تأثیر نیروی برشی، غیرحساس به آسیب در تیر و لنگر خمشی در تکیه‌گاه وسط تیر، بسیار حساس به آسیب است.<sup>[۱۸]</sup> ثو (۲۰۱۴)، به یک رویکرد نوین شناسایی محل آسیب از طریق ترکیب مقادیر خط تأثیر تنش به دست آمده از چند نقطه با استفاده از روش فیزیون دست یافته‌ند.<sup>[۱۹]</sup> استیماک (۲۰۰۶) و همکاران (۲۰۱۵)، تأثیر فاصله‌ی نموده در خط تأثیر انحراف را براساس روش تشخیص آسیب در تیرها بررسی کردند و برای نشان دادن کاربرد روش اخیر حتی زمانی که تعداد کمی از نقاط نمونه‌برداری استفاده می‌شود، یک تحلیل عددی انجام دادند.<sup>[۲۰]</sup> چن و همکاران (۲۰۱۵)، یک روش منظم‌سازی برای شناسایی خط تأثیر تنش براساس اطلاعات وسایل نقليه و تاریخچه‌ی زمانی تنش مرتبط، که هنگام عبور وسایل نقليه از روی پل اندازه‌گیری می‌شود، معرفی کرده است.<sup>[۲۱]</sup> زینالی و استوری (۲۰۱۷)، یک روش تشخیص نقص ارائه کردند که انحنای خطوط تأثیر تعییر شکل استاتیکی دارای نیزه را برای پیش‌بینی مکان و شدت آسیب ساختاری ارزیابی می‌کند.<sup>[۲۲]</sup> یونکای (۲۰۲۱) و همکاران (۲۰۲۱)، از تعییرات خطوط تأثیر تنش و تعییر شکل قبل و بعد از آسیب پل، یک شاخص برای

را با چند مثال از سازه‌های خربپایی بررسی کردند.<sup>[۲۳]</sup> سیریواردانه (۲۰۱۵)، نیز یک روش ساده برای تشخیص محل آسیب در پل ریلی با اندازه‌گیری مقادیر پارامترهای مدل ارائه کرده است.<sup>[۲۴]</sup> لی و هایو (۲۰۱۶)، امکان انجام و همین اثکداری یک حسگر جدید اندازه‌گیرنده تغییرمکان نسبي در شناسایی آسیب اتصال‌های پل‌های خربپایی را بررسی کرده‌اند.<sup>[۲۵]</sup> کیم و همکاران (۲۰۱۶)، یک الگوریتم عددی با استفاده از یک تحلیل اجزاء محدود ارتعاش آزاد ارائه و شناسایی محل و مقادیر چند آسیب را در سازه‌های خربپایی بررسی کرده‌اند.<sup>[۲۶]</sup> چانگ و کیم (۲۰۱۶)، یک آزمایش میدانی بر روی یک پل با تکیه‌گاه‌های ساده‌ی خربپایی با ۴ ستاریوی آسیب به انجام رساندند و فرایند شناسایی آسیب را با استفاده از نتایج پارامترهای مodal و پارامترهای ارتعاشی ارائه کردند.<sup>[۲۷]</sup> مرادی‌پور و همکاران (۲۰۱۷)، بر روی کاربرد روش انرژی کرنشی مودی برای شناسایی آسیب‌های شبیه‌سازی شده بر روی یک پل شاخص و معیار تمرکز کردند.<sup>[۲۸]</sup> کومار و بیسوواس (۲۰۱۳)، یک الگوریتم شناسایی و موقعیت‌یاب آسیب برای پل‌های خربپایی فولادی تحت بار و شرایط محیطی متغیر با استفاده از رویکرد داده‌محور پیشنهاد کرده‌اند.<sup>[۲۹]</sup> مصطفی و همکاران (۲۰۱۷)، یک ساختار تحلیلی برای پایش سلامت مبتنی بر ارتعاش سازه‌یی از طریق معرفی یک برآورده میرایی بر پایه‌ی انرژی پیشنهاد کردن و فرایند شناسایی آسیب را با ارزیابی نسبت‌های میرایی مodal از المان‌های سازه‌یی مختلف با استفاده از نسبت‌های میرایی مodal که به صورت آزمایشگاهی به دست آمداند و همچنین انرژی‌های پتانسیل و کرنشی مodal به دست آمده از یک مدل اجزاء محدود به روز شده به انجام رساندند.<sup>[۳۰]</sup> آلو (۲۰۱۹) و همکاران (۲۰۱۹)، برای شناسایی آسیب در سازه‌های خربپایی از سیگنال‌های ارتعاشی به دست آمده از حسگرها نصب شده در پل استفاده و یک مدل رگرسیون به سیگنال‌های زمانی اعمال کردن تا مشخصات سلامت سازه را استخراج کنند و در نهایت، یک روش یادگیری ماشین به ضرایب رگرسیون اعمال کردن تا بتوانند سازه‌ها را به دو حالت آسیب‌دیده و سالم طبقه‌بندی کنند.<sup>[۳۱]</sup> موسوی و همکاران (۲۰۱۵)، عملکرد تبدیل هیلبرت<sup>۸</sup> - هوانگ را براساس تجزیه‌ی مودی کامل با استفاده از روش نیزه تطبیقی و شبکه‌ی عصبی مصنوعی به عنوان روشی برای شناسایی آسیب معرفی کرده‌اند.<sup>[۳۲]</sup> برناردینی<sup>۹</sup> و همکاران (۲۰۲۱)، قابلیت ابزارهای نوین را برای پایش آسیب غیرمستقیم سازه‌های ریل راه‌آهن با معرفی یک مرحله‌ی دقیق تر از مدل‌سازی آسیب برای دست‌یابی به مدلی با شباهت بیشتر به واقعیت بررسی کرده‌اند.<sup>[۳۳]</sup> علاوه بر پل‌ها، به اتصال‌های دیگر سازه‌های زیرساختی، از قبیل: برج‌ها و ساختمان‌های بلندمرتبه و خربپایهای بزرگ نیز همواره در سال‌های اخیر توجه شده است، که در ادامه به تعدادی از آنها اشاره شده است. جی<sup>۱۰</sup> و همکاران (۲۰۲۱)، با استفاده از یک روش جدید و پاسخ ناشی از بار باد، اقدام به شناسایی محل پیچ‌های لق شده در یک برج بلندمرتبه کردن و حالت نرمال شده‌ی واریانس ریشه‌ی پاسخ کرنش عمودی ناشی از باد را به عنوان شاخص شل بودن پیچ معرفی کرden.<sup>[۳۴]</sup> فنادی و کوره‌لی (۲۰۲۲)، با بهره‌گیری از چند روش بهینه‌یابی که اخیراً معرفی شده‌اند، اقدام به برآورده آسیب در سازه‌های با مقیاس بزرگ کردن و نتایج روش‌های مذکور را با چند روش شناخته شده که در گذشته بسیار به آنها توجه شده است، مقایسه کردن و طی دو مدل عددی که شامل مدل‌سازی خربپایی صفحه‌یی با ۵۳ عضو و یک قاب ۳ طبقه با مقیاس واقعی بود، تتابیع آماری مقایسه‌ی انجام شده را ارائه کردن.<sup>[۳۵]</sup> همچنین فنادی و همکاران (۲۰۲۲)، روش‌ها و نتایج ۵۰ پیوهش انجام شده در طی سال‌های ۲۰۰۵ تا ۲۰۲۰ در حوزه‌ی شناسایی آسیب را با استفاده از الگوریتم بهینه‌یابی (PSO) بررسی و چندین موضوع را برگسته کردن و همچنین روش‌هایی که عمدتاً از روش بهینه‌یابی PSO بهره برده‌اند را از نظر زمان محاسبات و دقت بررسی کردن.<sup>[۳۶]</sup> کربالی و ملک جعفریان (۲۰۲۲)، با رویکردی

- مقایسه‌ی نمودار و دیاگرام‌های دو مرحله‌ی قبل از نظر شکل و تطبیق نمودار و خط تأثیر مشابه جهت شناسایی عضو آسیب‌دیده.
- پس از مقایسه‌ی نمودارها و دیاگرام‌ها، در صورتی که نمودار خط تأثیر عضوی با نمودار اختلاف پاسخ‌ها منطق باشد، به ان معنی است که اتصال و یا اتصال‌ها مربوط به عضو مورد نظر آسیب‌دیده بوده و آسیب مذکور موجب اختلال در عملکرد این عضو محوری شده است.

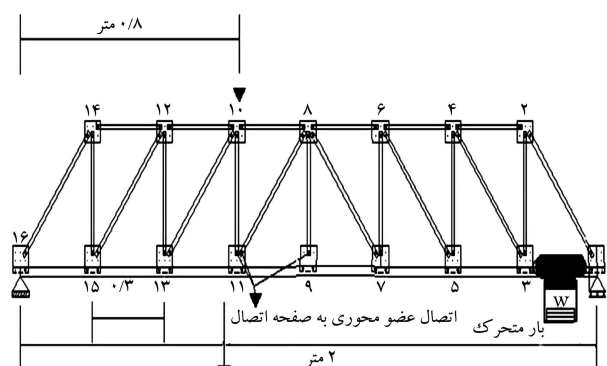
## ۲. مشخصات نمونه‌ی آزمایشگاهی

در پژوهش حاضر، مبنای راهبرد استفاده شده، مقایسه‌ی دیاگرام‌های خط تأثیر اعضا و نمودار به دست آمده از رابطه‌ی اختلاف پاسخ‌های تغییرمکان رابطه‌ی ۱ بوده است. برای بررسی میزان کارایی روش پیشنهادی، یک پل خرپایی با اتصال‌های پیچی که در شکل ۱ مشاهده می‌شود، ساخته و بررسی شده است. به دلیل صفحه‌ی بودن پل خرپایی اشاره شده و جلوگیری از حرکت خارج از صفحه، تمام اعضاء افقی ردیف بالای خرپا توسط قطعاتی از جنس فوم از هر دو طرف به دو تکیه‌گاه پیوسته، که در شکل ۱ به رنگ قرمز هستند، تکیه داده شده‌اند. محل قرارگیری حسگر تغییرمکان‌سنج، ابعاد اعضاء پل و همچنین نوع عملکرد تکیه‌گاه‌ها در شکل ۲ مشاهده می‌شود. پل خرپایی پژوهش حاضر با طول دهانه‌ی ۲ متر از ورق گالوانیزه با ضخامت ۰/۵۰ متر ساخته شده است. مشخصات ورق‌های تشکیل‌دهنده‌ی پل مذکور و همچنین مشخصات هندسی آن در جدول ۱ ارائه شده است.

برای اندازه‌گیری مقادیر پاسخ تغییرمکان قائم یک نقطه در پل خرپایی تحت



شکل ۱. نمونه‌ی پل خرپایی ساخته شده در آزمایشگاه.



شکل ۲. شماتیک پل خرپایی ساخته شده.

ارزیابی آسیب و همچنین محل اولیه‌ی آسیب در پل و اثربخشی شناسایی آسیب استفاده کرده‌اند.<sup>[۲۳]</sup> ژانگ و همکاران (۲۰۲۱)، خط تأثیر تغییر مکان و مشتقات اول و دوم انتخای تیر پیوسته و اختلاف بین خط تأثیر تغییر مکان و مشتقات اول و دوم تصویر را در زمانی که آسیب در چند نقطه رخ می‌دهد، برآورد داده‌اند.<sup>[۲۴]</sup> عظیم و گول (۲۰۲۱)، یک چارچوب تشخیص آسیب جدید برای شناسایی آسیب در سطح المان، برای پل‌های خرپایی راه‌آهن ارائه کرده‌اند، که تحلیل پاسخ‌های شتاب و کرنش را ترکیب می‌کند.<sup>[۲۵]</sup>

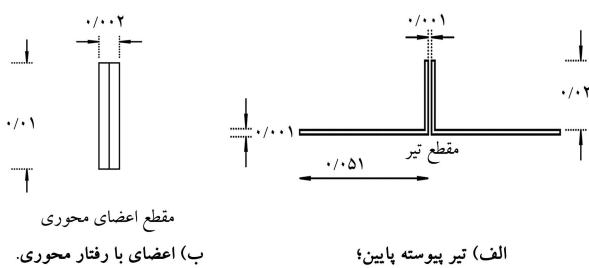
چنگ<sup>[۱۸]</sup> و همکاران (۲۰۲۲)، با یک رویکرد نوین اقدام به معرفی یک روش برای شناسایی آسیب پل‌های پیوسته‌ی تیری کردن، که در آن از خطوط تأثیر عکس العمل تکیه‌گاه‌ها به عنوان شاخص شناسایی آسیب استفاده کردن. ابتدا ارتباط بین آسیب‌های موضوعی در تیر و شاخص آسیب مذکور را تعیین کردن و در ادامه، حساسیت آن را با تئوری دمپسستر- شفر بررسی کردن و نشان دادن اگر از خطوط تأثیر پیشتری استفاده شود، حساسیت روش ذکر شده در برابر نویز کاهش پیدا می‌کند.<sup>[۲۶]</sup> کردی و محمودی (۲۰۲۲)، یک روش جدید برای شناسایی اعضاء آسیب‌دیده در پل‌های خرپایی تحت بار متحرک با استفاده از پاسخ تاریخچه‌ی زمانی و دیاگرام‌های خط تأثیر اعضاء ارائه کردن و دو عدد پل خرپایی تحت بار متحرک در یک نمای افزار المان محدود مدل‌سازی کردن و کارایی روش اخیر را در دو مدل مذکور بررسی کردن.<sup>[۲۷]</sup> ایشان با برداشت پاسخ تغییرمکان نقطه‌ی میانی تیر پایین خرپایی تحت بار متحرک، از طریق رابطه‌ی ۱ اقدام به محاسبه‌ی اختلاف پاسخ‌های تغییرمکان در حالت‌های سالم و آسیب‌دیده کردن:

$$(1) DD = V_i - V_d$$

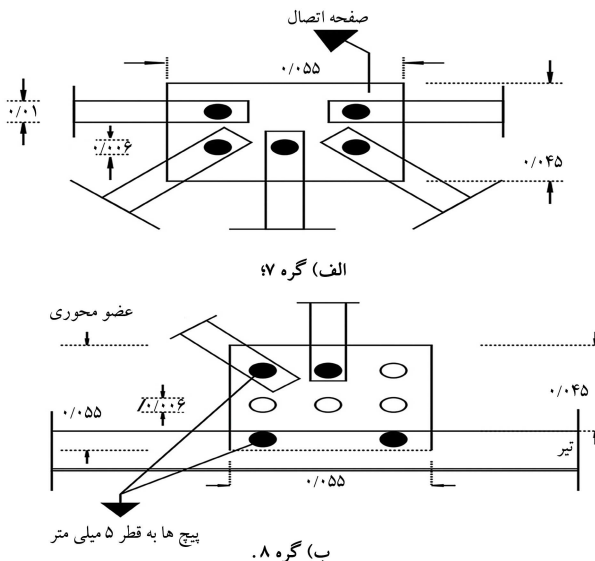
که در آن  $V_i$  و  $V_d$  به ترتیب نشان‌دهنده‌ی مقادیر تغییرمکان قائم نقطه‌ی وسط خرپا در حالت‌های سالم و آسیب‌دیده هستند. نهایتاً، عضو آسیب‌دیده با ترسیم دیاگرام خط تأثیر اعضاء پل خرپایی و مقایسه و انطباق شکلی نموداری رابطه‌ی ۱ و دیاگرام‌های اعضاء تشخیص داده می‌شود. روش ذکر شده‌ی اخیر با دو مثال عددی راستی آزمایش شده است.<sup>[۲۷]</sup>

در پژوهش حاضر، روش استفاده شده برای انجام شناسایی آسیب، مشابه روش کردی و محمودی،<sup>[۲۷]</sup> بوده است، با این تفاوت که پژوهش اخیر،<sup>[۲۷]</sup> یک پژوهش عددی بوده و اعضاء پل خرپایی به عنوان المان‌های آسیب‌دیده در نظر گرفته شده‌اند؛ اما پژوهش حاضر کاملاً آزمایشگاهی بوده و آسیب در اتصال‌های پیچی خرپا ایجاد شده و اعصابی که اتصال‌های آنها دچار آسیب شده است، شناسایی شده‌اند. مراحل شناسایی آسیب در پژوهش حاضر به این ترتیب بوده است:

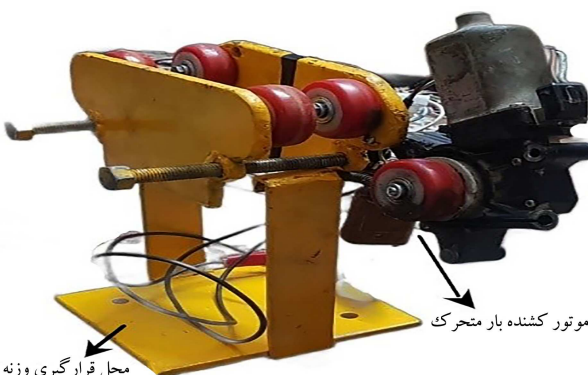
- ساخت پل خرپایی با اتصال‌های پیچی در آزمایشگاه؛
- شیوه‌سازی آسیب در اتصال‌های پیچی با حذف پیچ و یا شل کردن مهره‌ی مربوط به پیچ مورد نظر؛
- برداشت پاسخ‌های تغییرمکان یک نقطه از خرپایی سالم و آسیب‌دیده تحت بار متحرک توسط حسگر تغییرمکان‌سنج؛
- فیلتر کردن نویزهای موجود در پاسخ‌های تغییرمکان با استفاده از محاسبه‌گر میانگین متحرک ساده؛
- محاسبه‌ی مقادیر رابطه‌ی ۱ برای دو حالت سالم و آسیب‌دیده و ترسیم نمودار مقادیر به دست آمده؛
- محاسبه و ترسیم دیاگرام‌های خط تأثیر اعضاء خرپا؛



شکل ۵. مشخصات مقاطع تشکیل دهنده پل خرپایی.



شکل ۶. جزئیات هندسی اتصال های پل خرپایی.



شکل ۷. دستگاه شبیه ساز بار متحرک.

**۳. مشخصات بار متحرک طراحی شده**  
در پژوهش حاضر با توجه به این که پل از نوع خرپایی و مسطح بوده و محدودیت حرکت وجود داشته است، برخلاف پل های تیری، امکان عبور بار متحرک از بالای تیر پایین پل وجود نداشت. به همین دلیل، یک وسیله‌ی قابل حرکت ۵ چرخ به گونه‌یی که بتواند از پایین تیر پل خرپایی عبور کند و در عین حال نیروی بار متحرک را انتقال دهد، به گونه‌یی طراحی شد که ۴ چرخ آن بر روی دو لبه‌ی بالایی تیر قرار گرفت و به آن اوپریان شد و یک چرخ دیگر توسط موتور الکتریکی قابل کنترل از راه دور در جلوی آن قرار گرفت، که با شروع چرخش، نیروی لازم برای به حرکت درآوردن را فراهم می‌کرد (شکل ۷).

جدول ۱. مشخصات مواد و هندسه‌ی پل خرپایی.

مشخصات مواد و هندسه‌ی پل خرپایی	
مشخصات هندسی	مشخصات مواد
طول ۲ متر	چگالی ۷۸۰ کیلوگرم بر مترمکعب
ارتفاع ۲۲۰ متر	مدول کشسانی ۲۱ گیگاپاسکال



شکل ۳. حسگر تغییر مکان سنج خطی. [۳۸]



شکل ۴. دیتالاگر ۱۶ کاناله‌ی ALA.

بار متحرک، یک حسگر تغییر مکان سنج در فاصله‌ی ۷۶/۰ متری از تکیه‌گاه سمت چپ قرار داده شده است (شکل ۳).

درگاه‌های خروجی حسگر تغییر مکان سنج خطی از طریق کابل‌هایی به یک دیتالاگر با قابلیت ذخیره‌ی مقادیر ۱۶ کانال با سرعت نمونه‌برداری ۸ نمونه در هر ثانیه متصل شده‌اند، که تصویر درگاه‌های خروجی و ورودی دیتالاگر مذکور در شکل ۴ مشاهده می‌شود.

عضو پایین پل خرپایی از یک تیر پیوسته تشکیل شده است، که از سمت راست توسط یک تکیه‌گاه غلتکی و از سمت چپ توسط یک تکیه‌گاه مفصلی مهار شده است. به جز تیر پیوسته‌ی پایین خربما، تمامی اعضاء دیگر با توجه به اتصال پیچی به ورق‌های اتصال، رفتار محوری دارند. لازم به ذکر است که شروع حرکت بار متحرک از تکیه‌گاه سمت راست بوده است. فاصله‌ی دو تکیه‌گاه، دو متر و طول خالص حرکت بار متحرک، ۱/۹ متر بوده است. اعضاء با رفتار محوری، که شامل اعضاء افقی ردیف بالا، قطری و قائم بودند، به ترتیب به طول ۰/۲۵۵، ۰/۲۳۶، ۰/۲۴ و ۰/۰۱ متر بودند. تمام اعضاء ذکر شده از اتصال دو ورق با طول اشاره شده، عرض ۰/۰۱ متر و ضخامت ۰/۰۰۱ متر ساخته شده‌اند. اما تیر پیوسته‌ی پایین پل از دو مقطع آل شکل دوبل شده ساخته شده است. مشخصات هندسی اعضاء پل خرپایی در شکل ۵ مشاهده می‌شود.

مشخصات هندسی اتصال‌های اعضا به صفحه‌های اتصال و همچنین مشخصات اتصال صفحه‌های اتصال به تیر پایین پل در شکل ۶ مشاهده می‌شود.

جدول ۲. سناریوهای آسیب شدید در اتصال‌ها و سناریوهای دو آسیب هم‌زمان.

سناریوی آسیب	اتصال آسیب دیده	عضو مرتبه با اتصال	نوع عضو	وزن بار متحرک (kg)	سناریوی ۱
۶/۲	قطري	عضو	۸-۷	۷	سناریوی ۱
۱۳/۸	قطري	عضو	۱۲-۱۰	۱۳	سناریوی ۲
۱۳/۸	قائم	عضو	۷-۶	۷	سناریوی ۳
۶/۲	قائم	عضو	۱۲-۱۲	۱۳	سناریوی ۴
۶/۲	افقی	عضو	۱۴-۱۲	۱۴	سناریوی ۵
۶/۲	افقی	عضو	۶-۴	۴	سناریوی ۶
۱۳/۸	عضو و قائم	قطري و قائم	۱۳-۱۰ و ۷-۶	۷ و ۱۳	سناریوی ۷
۱۳/۸	قطري و قائم	عضو	۱۳-۱۲ و ۷-۶	۶ و ۱۳	سناریوی ۸

از هر دو سر توسط پیچ و مهربه به صفحه‌های اتصال وصل شده است. به همین جهت برای شبیه‌سازی آسیب شدید در اتصال‌ها، پیچ و مهربه به کلی از اتصال جدا و برای شبیه‌سازی آسیب کم، مهربه‌ی پیچ مورد نظر شُل شده است. هر برداشت در آزمایش، با فشردن دکمه‌ی ریموت کتول دستگاه بار متحرک و استخراج مقادیر پاسخ نقطه‌ی فرگارگری حسگر تغییرمکان‌سنج آغاز می‌شود. در طی یک برداشت، بار متحرک مسافت ۱/۹ متری را طی می‌کند و باعث ایجاد ارتعاش قائم در پل می‌شود و این ارتعاش توسط حسگر تغییرمکان‌سنج خطی برداشت و توسط دیتالاگر در یک فایل اکسل ذخیره می‌شود. در بخش حاضر، دو گروه سناریوی آسیب در نظر گرفته شده است، که در سناریوهای گروه یک، آسیب فقط در اتصال مربوط به یک عضو و در سناریوهای گروه دوم، آسیب در اتصال‌های دو عضوی شبیه‌سازی شده‌اند. در مرحله‌ی کنونی تلاش شده است که اعضاء متنوعی، شامل: اعضاء افقی، قائم و قطري تحت برسی قرار گیرند تا کارایی روش پیشنهادی برای تشخیص آسیب به شکل عمیق‌تری برسی شود. با توجه به شماره‌گذاری تمامی گره‌های اتصال اعضاء، هر عضو از طریق گره‌های دو سر آن عضو و همچنین صفحه‌های اتصال نیز با شماره‌ی گره، نام‌گذاری شده‌اند. در جدول ۲، نتایج ۸ سناریوی مختلف مربوط به آسیب شدید ارائه شده است.

مطابق جدول ۲، در سناریوهای اخیر، پیچ کاملاً از اتصال عضو به صفحه حذف شده است تا آسیب شدید مدل‌سازی شود. سناریوهای هفت و هشتم نیز مربوط به آسیب هم‌زمان در دو اتصال است. با توجه به این که هر عضو با عملکرد محوری، توسط یک پیچ در هر سر عضو به صفحه‌ی اتصال متصل شده و در صورت آسیب در هر یک از اتصال‌های مذکور، عملکرد عضو متناظر تحت تأثیر قرار گرفته است، لذا در جدول اخیر، علاوه بر اتصال عضو آسیب دیده، به عضو مرتبه با اتصال آسیب دیده نیز اشاره شده است. در ادامه، در جدول ۳، نتایج ۶ سناریوی دیگر، که در آنها فقط پیچ‌های اتصال مورد نظر شُل شده‌اند تا آسیب باشد کمی شبیه‌سازی شود، ارائه شده است.

در ادامه‌ی پژوهش حاضر، نتایج نمودارهای به دست آمده از آزمایش‌های انجام شده که همان شده در تشخیص اتصال‌های آسیب دیده تأثیر موقیسه شده‌اند، تا کارایی روش ارائه شده در تشخیص اتصال‌های آسیب دیده تأثیر موقیسه لازم به ذکر است که نمودارهای مربوط به هر سناریو به صورت سری سه‌گانه ارائه شده است، که نمودار اول مربوط به مقادیر معادله‌ی ۱ بدون اعمال فیلتر؛ نمودار دوم با اعمال فیلتر و نمودار سوم مربوط به دیاگرام خط تأثیر عضو تأثیر

در پژوهش حاضر بار متحرک با دو وزن مختلف بر سازه وارد شده است. اولین آزمایش‌ها با وزن خود دستگاه کشته شده، که ۶/۲ کیلوگرم بود، انجام شده و پس از آن با اضافه کردن وزنه در بخش پایین دستگاه، وزن بار متحرک تا ۱۳/۸ کیلوگرم افزایش یافته است. سرعت حرکت بار متحرک نیز با توجه به دو وزن مختلف بار متحرک از ۰/۰۵ تا ۰/۰۲۵ متر بر ثانیه متغیر بوده است. لازم به ذکر است که وزن پل خرپایی، ۴/۱۵۲ کیلوگرم و طول مسیر حرکت بار متحرک، برابر با ۱/۹ متر بوده است. با توجه به این که در هر ثانیه ۵۰ داده برداشت می‌شد، حین عبور بار متحرک که حدوداً ۸ تا ۸/۶ ثانیه به طول می‌انجامید، ۴۰۰۰ تا ۴۳۰۰ داده با توجه به وزن بار متحرک در حافظه دیتالاگر ذخیره شده است. پس از انتقال داده‌ها به نرم‌افزار اکسل، فیلتر میانگین متحرک ساده با ۱۰۰۰ داده به نمودارهای اختلاف پاسخ‌ها اعمال شد تا شرایط لازم جهت مقایسه‌ی آنها با نمودارهای خط تأثیر مهیا شود.

#### ۴.۲. دیاگرام‌های خط تأثیر اعضاء

در پژوهش حاضر برای شناسایی آسیب در اتصال‌ها، دیاگرام خط تأثیر نیروی محوری اعضا تعیین و سپس نمودارهای اختلاف پاسخ‌های تغییرمکان پل در دو حالت سالم و آسیب دیده با دیاگرام‌های خط تأثیر اعضا از نظر شکل مقایسه شده‌اند. عضوی که دیاگرام خط تأثیر آن از نظر شکل با نمودار اختلاف پاسخ‌های تغییرمکان یکسان باشد، در یکی از اتصال‌هایش، دچار آسیب می‌شود. لازم به ذکر است که دیاگرام‌های خط تأثیر اعضا با شبیه‌سازی پل خرپایی در نرم‌افزار اجزاء محدود و اعمال بار واحد به نقاط مشخص شده بر روی تیر پایین خرپا تعیین شده است. نقاط مشخص شده روی تیر پایین پل، علاوه بر گره‌های اتصال، شامل نقاط میانی دو گره مجاور نیز می‌شد. در نتیجه به ۱۷ نقطه‌ی مشخص روی تیر، بار واحد اعمال و مقادیر نیروی محوری هر عضو ثبت شده است، تا دیاگرام خط تأثیر نیروی محوری اعضا تعیین شود. در دیاگرام خطوط تأثیر نیروی محوری اعضا، محور افقی، نشان‌دهنده‌ی موقعیت بار واحد و محور قائم، نشان‌دهنده‌ی مقدار نیروی محوری هر عضو با واحد نیوتون است.

#### ۵. سناریوهای آسیب و پاسخ‌های تغییرمکان ثبت شده توسط دیتالاگر

در مدل آزمایشگاهی حاضر، هر عضو دارای عملکرد محوری در پل ذکر شده،

جدول ۳. سناریوهای آسیب با شدت کم در اتصال‌ها.

سناریوی آسیب	اتصال آسیب‌دیده	عضو مرتبط با اتصال	نوع عضو	وزن بار متتحرك (kg)	سناریو
۶/۲	قائم	عضو ۱۲-۱۳	عضو	۱۳	سناریو ۹
۶/۲	افقی	عضو ۱۲-۱۴	عضو	۱۴	سناریو ۱۰
۱۳/۸	قائم	عضو ۷-۶	عضو	۷	سناریو ۱۱
۶/۲	قطري	عضو ۸-۷	عضو	۷	سناریو ۱۲
۱۳/۸	قطري	عضو ۱۰-۱۳	عضو	۱۳	سناریو ۱۳
۶/۲	افقی	عضو ۶-۴	عضو	۴	سناریو ۱۴

می‌توان به دو بخش استاتیک و دینامیک تقسیک کرد، که این کار با اعمال فیلتر میانگین متتحرك ساده، که اعمال آن به پاسخ بخش استاتیک پاسخ را نتیجه می‌دهد، انجام پذیر است. در پژوهش حاضر، با توجه به لزوم مقایسه‌ی پاسخ با نمودار خط تأثیر و اطلاع از ماهیت استاتیکی نمودار خط تأثیر، اعمال فیلتر میانگین الگامی است. به همین دلیل همان‌طور که در شکل های ۸ تا ۱۵ مشاهده می‌شود، فیلتر مورد نظر به تمامی نمودارهای اول هر بخش (نمودارهای با عنوان بدون فیلتر) اعمال شده و نمودارهای دوم هر بخش به دست آمده است. نمودارهای دوم هر بخش، که همان نمودارهای فیلتر شده هستند، از نظر تنظیمات عددی محور قائم به گونه‌یی در نظر گرفته شده‌اند تا شباهت شکلی آنها با نمودارهای خط تأثیر به شکل واضح‌تر قابل مشاهده باشد. نتایج طی سه گروه با رنگ‌های مختلف ارائه شده است، که نتایج سناریوهای ۱، ۶، ۷، که با رنگ آبی ارائه شده‌اند، مربوط به حالت آسیب باشد زیاد است. نتایج سناریوهای ۲ و ۸، که با رنگ سیز ارائه شده‌اند، مربوط به حالت آسیب در اتصال دو عضو به صورت هم‌زمان باشد زیاد است. و نمودارهای با رنگ نارنجی مربوط به سناریوهای ۹ تا ۱۴ و مربوط به حالت آسیب در اتصال یک عضو و با شدت کم هستند. در مجموع برای ۱۴ سناریوی آسیب مختلف، نتایج ارائه شده است. با بررسی نمودارهای حالت آسیب شدید می‌توان مشاهده کرد در نتایج مربوط به سناریوهای ۲ و ۵، محل پیک‌های نمودارها تفاوت بیشتری در مقایسه با ۴ سناریوی دیگر دارد، که نشان‌دهنده‌ی کیفیت کمتر نتایج در سناریوهای اخیر است. همچنین مسئله‌ی اخیر برای حالت آسیب با شدت کم برای سناریوهای ۱۰ و ۱۳ به شکل مشابهی تکرار شده است. در سناریوهای ۷ و ۸، که در اتصال دو عضو به صورت هم‌زمان، آسیب شدید مشاهده شده است، در نمودارها از نظر شکلی، انطباق بیشتری ملاحظه شده است. به طور کلی می‌توان گفت که از منظر کیفیت نتایج، تفاوتی بین حالت‌های با شدت زیاد و کم مشاهده نشده است.

## ۵. نتیجه‌گیری

روش پیشنهادی در پژوهش حاضر، برای شناسایی آسیب در پل‌های خربایی معرفی شده است. در هر بار آزمایش، پل خربایی تحت بار متتحرك قرار گرفته و پاسخ تغییرمکان قائم یک نقطه از تیر در دو حالت آسیب‌دیده و سالم برداشت شده است. اختلاف مقادیر تغییرمکان به دست آمده از دو حالت سالم و آسیب‌دیده به شکل نمودار رسم شده است. دیاگرام‌های خط تأثیر اعضاء پل خربایی نیز با مدل‌سازی پل در نرم‌افزار اجراء محدود تعیین و در نهایت با مقایسه‌ی نمودار اختلاف پاسخ‌ها را

پذیرفته از آسیب اتصال است. همان‌طور که در جدول‌های اخیر مشاهده می‌شود، در پژوهش حاضر نلاش شده است که نتایج انواع مختلف عضو، از قبیل: عضوهای افقی، عمودی و مورب بررسی شوند تا نتایج با قدرت‌تر و با قابلیت انتکای بیشتری باشند.

## ۳. نتایج برداشت‌های آزمایشگاهی و مقایسه‌ی نمودارها و دیاگرام‌ها

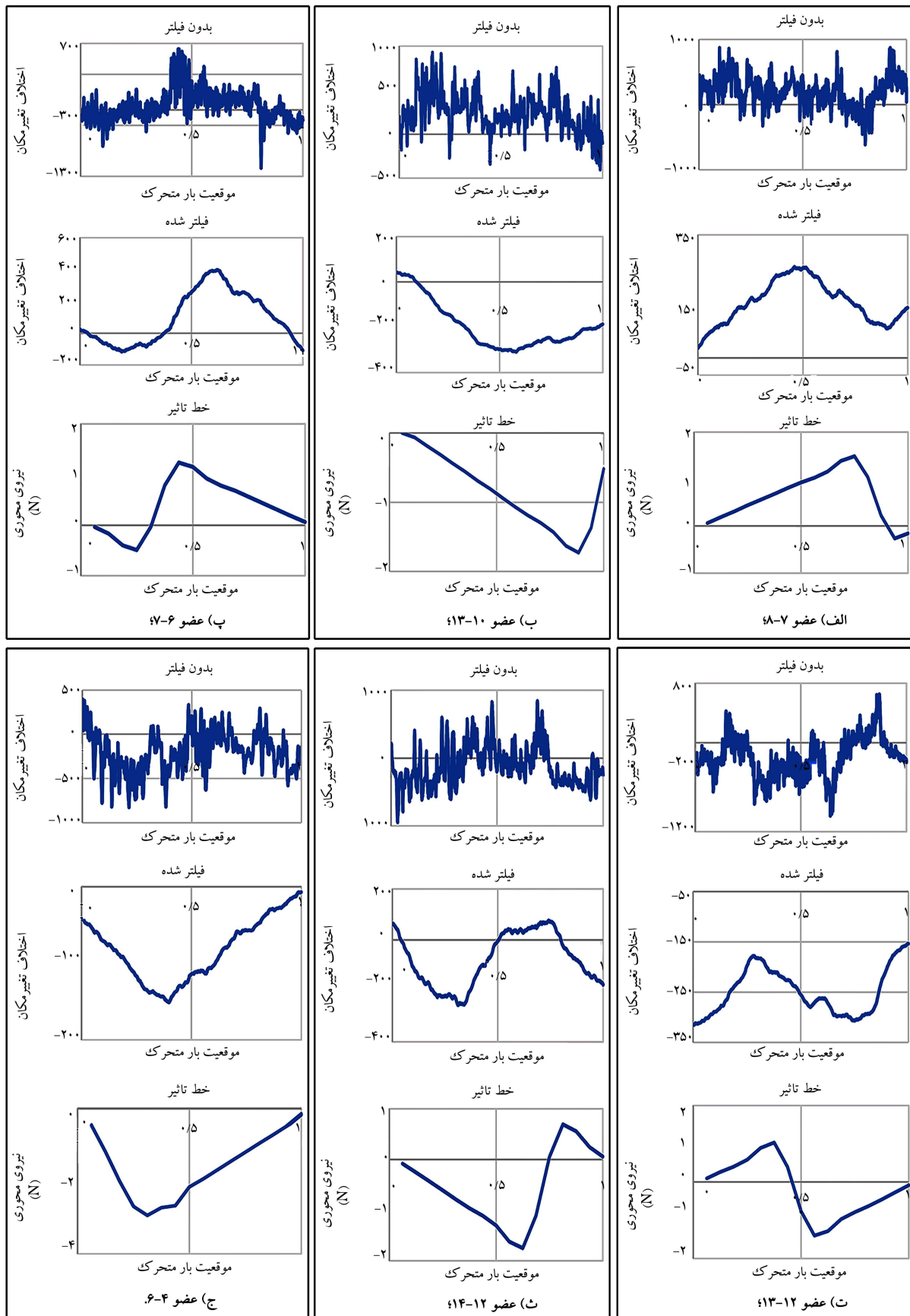
لازم به ذکر است که در نمودارهای اختلاف تغییرمکان شکل‌های ۸ تا ۱۵، محور قائم نشان‌دهنده‌ی مقادیر رابطه‌ی ۱ بر حسب صدم میلی‌متر است و محور افقی محل بار متتحرك را نشان می‌دهد. در ادامه، نتایج سناریوهای هفتم و هشتم مربوط به جدول ۲، که مربوط به حالت‌های دو آسیب شدید هم‌زمان است، ارائه شده است (شکل ۹).

در ادامه‌ی بخش حاضر، نتایج مربوط به جدول ۲، که سناریوهای آسیب با شدت کم هستند ارائه شده‌اند، شکل ۱۵، که منظور از شدت کم، همان سُل کردن مهراهی یک پیچ بوده و برخلاف مرحله‌ی قبل، پیچ همچنان در جای خود قرار گرفته و عملکرد آن کاملاً قطع نشده است.

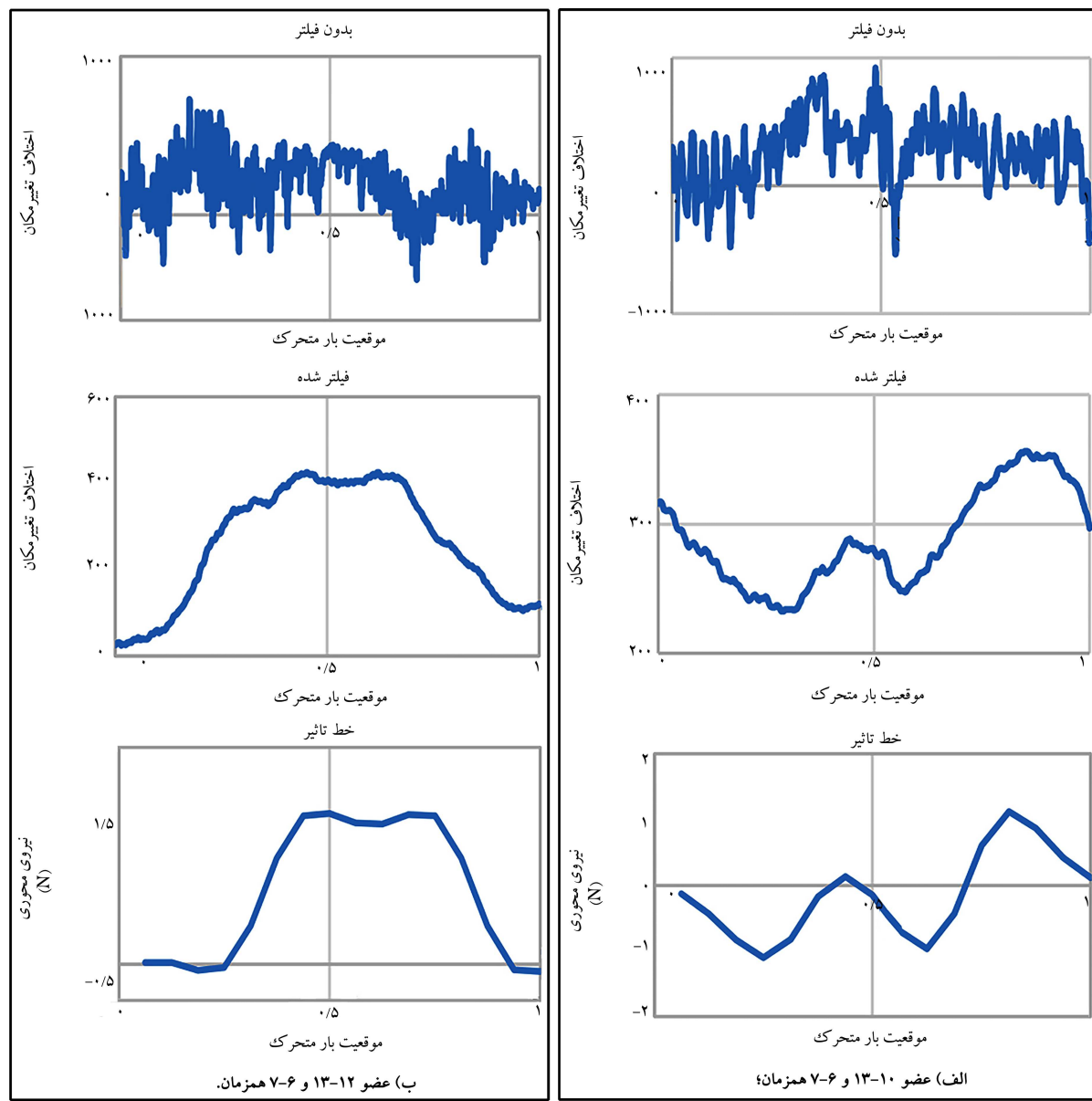
همان‌طور که در بخش‌های قبیل نیز اشاره شده است، برای تشخیص و شناسایی اتصال آسیب‌دیده، باید نمودار اختلاف پاسخ‌های دینامیکی یک نقطه از پل خربایی در دو حالت سالم و آسیب‌دیده با نمودار خط تأثیر عضوهای خربای مقایسه شود. در صورت انطباق نمودار با دیاگرام خط تأثیر عضو، اتصال مربوط به عضو مورد نظر همان اتصال آسیب‌دیده است.

## ۴. بحث در مورد نتایج

همان‌طور که در بخش‌های پیشین اشاره شده است، روش کار در نوشتار حاضر به این صورت بوده است که نمودار اختلاف پاسخ‌های تغییرمکان در دو حالت سالم و آسیب‌دیده پس از اعمال فیلتر میانگین متتحرك ساده، که توسط نرم‌افزار اکسل بر روی خروجی‌های به دست آمده از دیتاگر اعمال شده است. با نمودار خط تأثیر عضو آسیب‌دیده مقایسه شده است تا میزان قدرت روش پیشنهادی در شناسایی آسیب اعضا بررسی شود. همان‌طور که در نوشتار گونزالو و هسترن<sup>[۲۹]</sup>، ۲۰۱۳)،



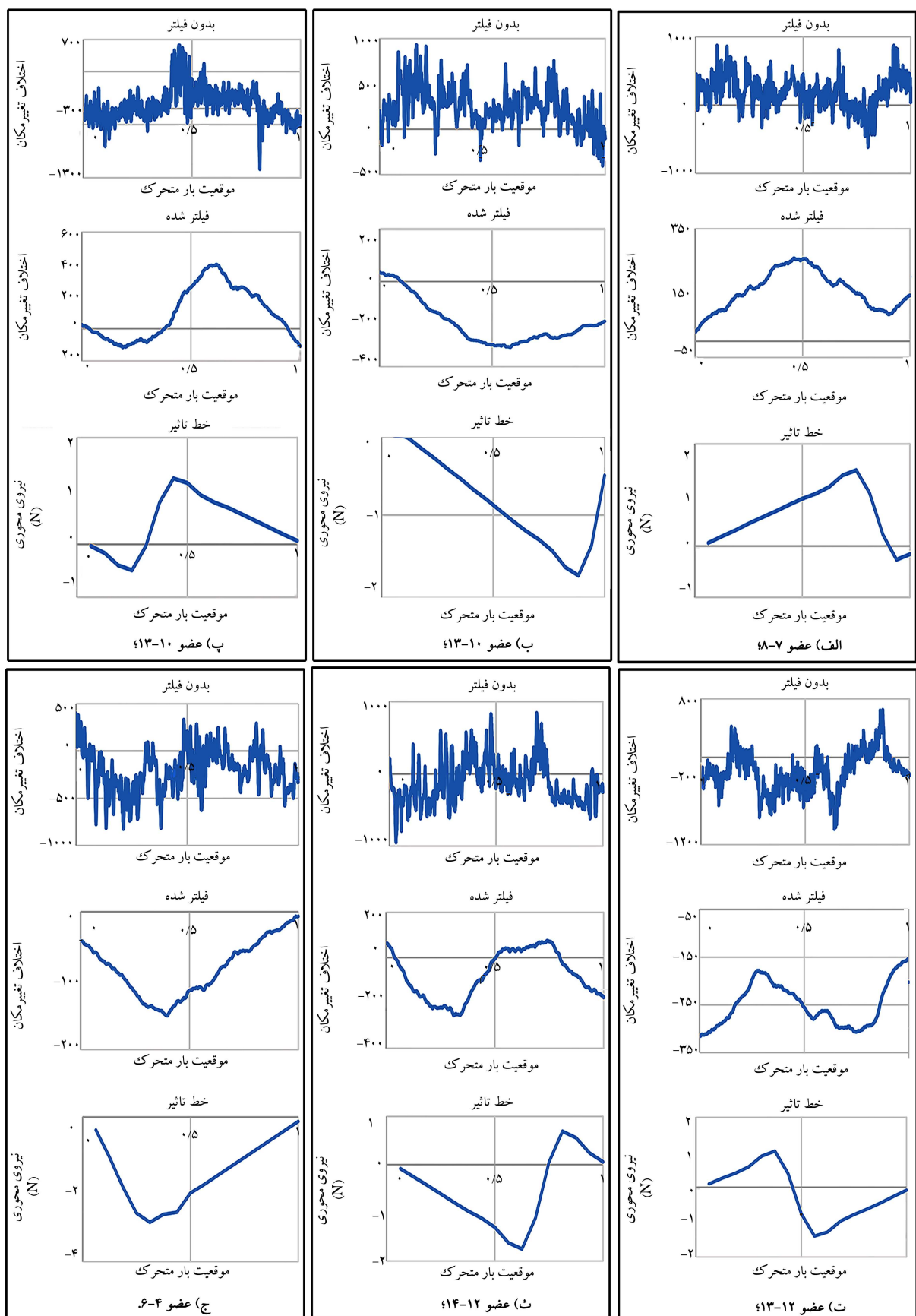
شکل ۸. انطباق نمودارهای اختلاف پاسخ تغییرمکان با دیاگرام‌های خط تأثیر اعضای برای سناریوهای با آسیب شدید.



شکل ۹. انطباق نمودارهای اختلاف پاسخ تغییرمکان با دیاگرام های خط تأثیر اعضای برای سناریوهای با دو آسیب شدید هم زمان.

روش مورد نظر برای شناسایی آسیب استفاده کرد. لازم به ذکر است که با توجه به نزدیکی آزمایشگاه به محل عبور خودروهای متعدد و همچنین ارتعاش موجود در دستگاه بار متحرک، نویزهای زیادی در پاسخ های تغییرمکان عضو مشاهده می شود، که با استفاده از محاسبه گر میانگین متحرک ساده تا حد زیادی کاهش داده شده است، اما همواره اثر منفی این نویزها در فرایند انطباق شکلی نمودارها و دیاگرامها کاملاً مشهود است. انتظار می رود در صورتی که از حسگر تغییرمکان سنجی با دقت اندازه گیری بهتر در شرایط آزمایش با نویز کمتر استفاده شود، انطباق نمودارها و دیاگرامها بهبود یابد. علاوه بر وجود نویز با توجه به این که برای شناسایی آسیب در هر عضو نیاز به انجام دو آزمایش با شرایطی کاملاً یکسان است و مهیا کردن چنین شرایطی با توجه به تغییر دائمی شرایط محیطی و شرایط اندرکنش بار متحرک و بلکمی دست نیافتی به نظر می رسد، وجود خطای در نتایج نهایی امری ناگزیر است.

تغییرمکان و دیاگرام های خط تأثیر، آن عضوی که دیاگرام خط تأثیرش با نمودار پاسخ های تغییرمکان از نظر شکل انطباق داشته باشد، به عنوان عضوی که دست کم یکی از اتصال های آن دچار آسیب شده در نظر گرفته شده است. بررسی نمودارها و دیاگرام های به دست آمده نشان می دهد در زمانی که اتصال پیچی مربوط به عضوی آسیب می بیند، پاسخ تغییرمکان پل نسبت به حالت بدون آسیب دچار تغییر می شود و نمودار تغییرات ایجاد شده، از نظر شکل شبیه به دیاگرام خط تأثیر آن عضو است. در نتیجه می توان تشخیص داد که اتصال های کدام عضو دچار آسیب شده است. بررسی نمودارها نشان می دهد که این نتیجه برای هر دو حالت آسیب شدید و آسیب باشد که برقار است. لازم به ذکر است حتی در حالتی که دو اتصال به صورت هم زمان دچار آسیب شوند نیز می توان با روش پیشنهادی، عضوهایی که اتصال های آنها دچار آسیب شده است، شناسایی کرد. در حالتی که فقط مهره هی اتصال شل می شود (آسیب باشد که ایجاد می شود) نیز می توان از



شکل ۱۰. انطباق نمودارهای اختلاف پاسخ تغییر مکان با دیاگرام خط تاثیر اعضاء برای سناریوهای آسیب با شدت کم.

## پانوشت ها

1. Brunell & Kim
2. Lee
3. Siriwardane
4. Li & Hao
5. Chang & Kim
6. Kumar & Biswas
7. Unno
8. Hilbert
9. Bernardini
10. Ji
11. Kourehli
12. Zaurin & Necati
13. Štimac
14. Zhu
15. Štimac
16. Yunkai
17. Azim & Gül
18. Cheng
19. González & Hester

## منابع (References)

1. Fallahian, S., Joghataie, A. and Kazemi, M.T., 2018. Structural damage detection using time domain responses and teaching-learning-based optimization (TLBO) algorithm. *Scientia Iranica*, 25(6), pp.3088-3100. DOI:10.24200/sci.2017.4238.
2. Rezvani, K., NMM, M. and Sabour, M.H., 2018. A comparison of some methods for structural damage detection. *Scientia Iranica*, 25(3), pp.1312-1322. DOI:10.24200/sci.2017.4494.
3. Chatterjee, P.K., Datta, T.K. and Surana, C.S., 1994. Vibration of continuous bridges under moving vehicles. *Journal of Sound and Vibration*, 169(5), pp.619-632. <https://doi.org/10.1006/jsvi.1994.1037>.
4. Lee, H.P., 1996. The dynamic response of a Timoshenko beam subjected to a moving mass. *Journal of Sound and Vibration*, 198(2), pp. 249-256. <https://doi.org/10.1006/jsvi.1996.0567>.
5. Khadri, Y., Tekili, S., Daya, El M. and et al., 2009. Analysis of the dynamic response of bridges under moving loads. *International Review of Mechanical Engineering*, 3(1), pp.91-99.
6. Brunell, G. and Kim, Y.J., 2013. Effect of local damage on the behavior of a laboratory-scale steel truss bridge. *Engineering Structures*, 48, pp.281-291. DOI:10.1016/j.engstruct.2012.09.017.
7. Kim, C.W., Kitauchi, S. and Sugiura, K., 2013. Damage detection of a steel truss bridge through on-site moving vehicle experiments. In *SMAR-2nd International Conference on Smart Monitoring, Assessment and Rehabilitation of Civil Structures*, Istanbul, Turkey.
8. Lee, E.T., Eun, H.C. and Kim, T., 2011. Damage detection of truss structure based on the variation in axial stress and strain energy predicted from incomplete measurements. *Journal of Vibro Engineering*, 13(2), pp.173-185.
9. Siriwardane, S.C., 2015. Vibration measurement-based simple technique for damage detection of truss bridges. *Case Studies in Engineering Failure Analysis*, 4, pp.50-58. DOI:10.1016/j.csefa.2015.08.001.
10. Li, J. and Hao, H., 2016. Health monitoring of joint conditions in steel truss bridges with relative displacement sensors. *Measurement*, 88, pp.360-371. <https://doi.org/10.1016/j.measurement.2015.12.009>.
11. Kim, Y.W., Kim, N.I. and Lee, J., 2016. Damage identification of truss structures based on force method and free vibration analysis. *Advances in Structural Engineering*, 19(1), pp.3-13. DOI:10.1177/1369433215618300.
12. Chang, K.C. and Kim, C.W., 2016. Modal-parameter identification and vibration-based damage detection of a damaged steel truss bridge. *Engineering Structures*, 122, pp.156-173. DOI:10.1016/j.engstruct.2016.04.057.
13. Moradipour, P., Chan, T.H. and Gallage, C., 2017. Benchmark studies for bridge health monitoring using an improved modal strain energy method. *Procedia Engineering*, 188, pp.194-200. DOI:10.1016/j.proeng.2017.04.474.
14. Kumar, K., Biswas, P.K. and Dhang, N., 2019. Damage diagnosis of steel truss bridges under varying environmental and loading conditions. *Int. J. Acoust. Vibr.*, 24(1), pp.56-67. DOI:10.20855/ijav.2019.24.11255.
15. Mustafa, S., Matsumoto, Y. and Yamaguchi, H., 2018. Vibration-based health monitoring of an existing truss bridge using energy-based damping evaluation. *Journal of Bridge Engineering*, 23(1), p.04017114. DOI:10.1061/(ASCE)BE.1943-5592.0001159.
16. Unno, K., Mikami, A. and Shimizu, M., 2019. Damage detection of truss structures by applying machine learning algorithms. *GEOMATE Journal*, 16(54), pp.62-67. DOI:10.21660/2019.54.4840.
17. Mousavi, A.A., Zhang, C., Masri, S.F. and et al., 2020. Structural damage localization and quantification based on a CEEMDAN hilbert transform neural network approach. *A Model Steel Truss Bridge Case study: Sensors*, 20(5), p.1271. <https://doi.org/10.3390/s20051271>.
18. Bernardini, L., Carnevale, M. and Collina, A., 2021. Damage identification in warren truss bridges by two different time-frequency algorithms. *Applied Sciences*, 11(22), p.10605. DOI:10.3390/app112210605.
19. Ji, B., Xiong, Q., Xing, P. and et al., 2021. Bolt loosening localization at flange joints using wind-induced response for high-rise tower. *International Journal of Steel Structures*, 21(5), pp.1790-1803. DOI:10.1007/s13296-021-00535-5.
20. Ghannadi, P. and Kourehli, S.S., 2022. Efficiency of the slime mold algorithm for damage detection of large-scale structures. *The Structural Design of Tall and Special Buildings*, 31(14), p.1967. DOI:10.1002/tal.1967.
21. Ghannadi, P., Kourehli, S.S. and Mirjalili, S., 2022. The application of PSO in structural damage detection: An analysis of the previously released publications (2005-2020). *Frattura ed Integrità Strutturale*, 16(62), pp.460-489. DOI:10.3221/IGF-ESIS.62.32.
22. Corbally, R. and Malekjafarian, A., 2022. Bridge damage detection using operating deflection shape ratios obtained from a passing vehicle. *Journal of Sound and Vibration*, 537, p.117225. DOI:10.1016/j.jsv.2022.117225.

23. Mostafa, N., Maio, D.D., Loendersloot, R. and et al., 2022. Railway bridge damage detection based on extraction of instantaneous frequency by Wavelet Synchrosqueezed Transform. *Advances In Bridge Engineering*, 12(3), p.27. DOI:10.1186/s43251-022-00063-0.
24. Hajizeinalibouki, Y., 2018. Flexural Rigidity Estimation Using Noisy Static Influence Lines. *Civil and Environmental Engineering Theses and Dissertations*, 1.
25. Zeinali, Y. and Story, B.A., 2017. Framework for flexural rigidity estimation in Euler-Bernoulli beams using deformation influence lines. *Infrastructures*, 2(4), p.23. DOI:10.3390/infrastructures2040023.
26. Zaurin, R. and Necati Catbas, F., 2011. Structural health monitoring using video stream, influence lines, and statistical analysis. *Structural Health Monitoring*, 10(3), pp.309-332. DOI:10.1177/1475921710373290.
27. Štimac, I., Mihanović, A. and Kožar, I., 2006. Damage detection from analysis of displacement influence lines. In *International Conference on Bridges*, Dubrovnik, pp.1001-1008.
28. Zhang, R.F., Zhang, X.M. and Qi, C.X., 2012. Application of the influence line on the bridge testing. In *Advanced Materials Research.*, Trans. Tech. Publications Ltd., 594, pp.1586-1589. DOI:10.4028/www.scientific.net/AMR.594-597.1586.
29. Zhu, S., Chen, Z., Cai, Q. and et al., 2014. Locate damage in long-span bridges based on stress influence lines and information fusion technique. *Advances in Structural Engineering*, 17(8), pp.1089-1102. DOI:10.1260/1369-4332.17.8.1089.
30. Štimac, I., Mihanović, A. and Kožar, I., 2006. Damage detection from analysis of displacement influence lines. In *International Conference on Bridges*, Dubrovnik, pp.1001-1008.
31. Y. L., Li, Q. and Cai, Q.L., 2015. Damage detection in long suspension bridges using stress influence lines. *Journal of Bridge Engineering*, 20(3), p.05014013. DOI:10.1061/(ASCE)BE.1943-5592.0000681.
32. Zeinali, Y. and Story, B.A., 2017. Framework for flexural rigidity estimation in Euler-Bernoulli beams using deformation influence lines. *Infrastructures*, 2(4), p.23. DOI:10.3390/infrastructures2040023.
33. Yunkai, Z., Qingli, X., Guohua, L. and et al., 2021. Damage identification of multi-span bridge structure based on the recognition of influence line. In *E3S Web of Conferences*, 233, p.03002 EDP Sciences. DOI:10.1051/e3sconf/202123303002.
34. Zhang, Y., Xie, Q., Li, G. and et al., 2021. Multi-damage identification of multi-span bridges based on influence lines. *Coatings*, 11(8), p.905. DOI:10.3390/coatings11080905.
35. Azim, M.R. and Güçlü, M., 2021. Development of a novel damage detection framework for truss railway bridges using operational acceleration and strain response. *Vibration*, 4(2), pp.422-443. DOI:10.3390/vibration4020028.
36. Cheng, Q., Ruan, X., Wang, Y. and et al., 2022. Serious damage localization of continuous girder bridge by support reaction influence lines. *Buildings*, 12(2), p.182. <https://doi.org/10.3390/buildings12020182>.
37. Kordi, A. and Mahmoudi, M., 2022. Damage detection in truss bridges under moving load using time history response and members influence line diagrams. *Civil Engineering Infrastructures Journal*, 55(1), pp.183-194. DOI:CEIJ.2021.314109.1723
38. <https://www.opkon.com.tr/Content/media/file-ce927f18.pdf>.
39. González, A. and Hester, D., 2013. An investigation into the acceleration response of a damaged beam-type structure to a moving force. *Journal of Sound and Vibration*, 332(13), pp.3201-3217. DOI:10.1016/j.jsv.2013.01.024.